

# **Computação Paralela**

Paralelização em MPI de métodos iterativos para resolução de equações diferenciais a duas dimensões

Alexandre Rodrigues, 92993, Gustavo Morais, 92978

15 de julho de 2022



# 1 Introdução

O presente trabalho tem como objetivo paralelizar, através de MPI, métodos iterativos para resolução de equações diferenciais a duas dimensões. Para este efeito considera-se a equação de Poisson a duas dimensões:

$$\frac{\partial^2 V(x, y)}{\partial x^2} + \frac{\partial^2 V(x, y)}{\partial y^2} = f(x, y)$$

onde  $f(x, y) = 7 \sin(3\pi x) \cos(3\pi x) \sin(2\pi y) \cos(3\pi y)$ . É possível desenvolver programas paralelizados com MPI que recorrem ao método de Jacobi para encontrar soluções numéricas deste tipo de equação no domínio  $-1 \leq x \leq 1$  e  $-1 \leq y \leq 1$ . Estes programas discretizam o domínio em ambas as direções,  $x$  e  $y$ , formando uma espécie de grelha de pontos onde a função  $V(x, y)$  é calculada iterativamente. Para tal, as segunda derivadas são aproximadas por diferenças finitas em cada ponto da grelha utilizando os valores da função nos seus pontos vizinhos:

$$\begin{aligned}\frac{\partial^2 V(x, y)}{\partial x^2} &\approx \frac{V(x-h, y) - 2V(x, y) + V(x+h, y)}{h^2}, \\ \frac{\partial^2 V(x, y)}{\partial y^2} &\approx \frac{V(x, y-h) - 2V(x, y) + V(x, y+h)}{h^2}\end{aligned}$$

onde  $h$  é o espaçamento uniforme entre pontos vizinhos na grelha.

As coordenadas dos pontos da grelha são dados por  $x = -1 + jh$  e  $y = -1 + ih$  através dos índices  $j = 0, 1, \dots, n_x - 1$  e  $i = 0, 1, \dots, n_y - 1$  com  $n_x = n_y = \frac{2}{h} + 1$  neste caso. A equação que resulta da substituição das segundas derivadas pelas suas aproximações, e das coordenadas  $x$  e  $y$  pelos índices  $j$  e  $i$ , respetivamente, é expressa na forma iterativa do método de Jacobi por

$$V_{i,j}^{(k)} = \frac{1}{4} [V_{i-1,j}^{(k-1)} + V_{i+1,j}^{(k-1)} + V_{i,j-1}^{(k-1)} + V_{i,j+1}^{(k-1)} - h^2 f_{i,j}]$$

onde  $k$  representa a iteração. A tolerância  $\epsilon$  é definida à partida, e considera-se que o método convergiu quando

$$\frac{\sqrt{\sum_{i,j} [V_{i,j}^{(k)} - V_{i,j}^{(k-1)}]^2}}{\sqrt{\sum_{i,j} [V_{i,j}^{(k)}]^2}} < \epsilon$$

Para atingir os objetivos do presente trabalho, os programas desenvolvidos devem usar uma decomposição do domínio bidimensional com os subdomínios distribuídos por duas colunas.

## 2 Resolução dos exercícios

Os resultados apresentados são referentes a uma tolerância de  $\epsilon = 10^{-6}$ , a um número de processos igual a 4 e  $n_x = n_y = 100$ . Para verificar os resultados obtidos no programa paralelizado tais como os gráficos e a *mean square error (MSE)* obtida, foi desenvolvido um programa sequencial em MATLAB.

### Exercício a)

Nesta alínea foi pedido para adaptar o programa de forma a incorporar as seguintes condições fronteiras:

- $V(-1, y) = \frac{1+y}{4}$

- $V(1, y) = \frac{3+y}{4}$
- $V(x, -1) = \frac{1+x}{4}$
- $V(x, 1) = \frac{3+x}{4}$

O código adicionado nesta alínea está presente no Código 1, onde no primeiro *if* adicionamos as condições fronteira para  $x = -L$  e  $x = L$  e no segundo para  $y = -L$  e  $y = L$ .

```
// Condições fronteira em x=-L e x=L
if (newid % 2 == 0) {
    for (int i = 1; i < myrows + 1; i++) {
        Vnew[i][0] = (1 + (-L + h*(firstrow+i-1))) / 4;
        Vold[i][0] = Vnew[i][0] ;
    }
} else {
    for (int i = 1; i < myrows + 1; i++) {
        Vnew[i][mycols+1] = (3 + (-L + h*(firstrow+i-1))) / 4;
        Vold[i][mycols+1] = Vnew[i][mycols+1];
    }
}

// Condições fronteira em y=-L e y=L
if (newid == manager_rank || newid == 1) {
    for (int j = 0; j < mycols+2; j++) {
        Vnew[0][j] = (1 + (-L + h*(firstcol+j-1))) / 4;
        Vold[0][j] = Vnew[0][j];
    }
}

if (newid == nprocs - 2 || newid == nprocs - 1) {
    for (int j = 0; j < mycols + 2; j++) {
        Vnew[myrows+1][j] = (3 + (-L + h*(firstcol+j-1))) / 4;
        Vold[myrows+1][j] = Vnew[myrows+1][j];
    }
}
```

Código 1

Os resultados obtidos estão presentes na Figura 1 e na Tabela 1. É de notar o elevado número de iterações e erro (MSE) da ordem de  $h^2 = (2.0 \times \frac{L}{n_x-1})^2 = 4.0812 \times 10^{-4}$ . Obteve-se o gráfico esperado pois os resultados são extremamente afetados pelas condições fronteira, não permitindo obter resultados semelhantes às seguintes alíneas.

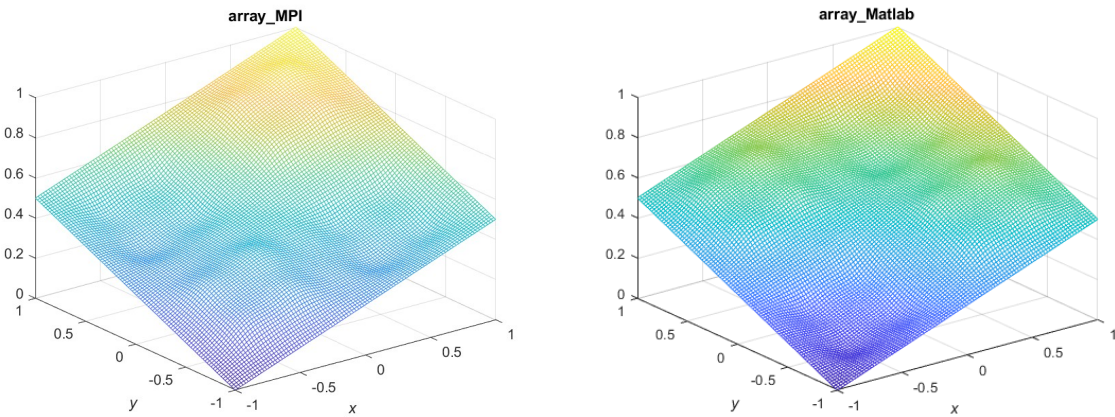


Figura 1: Representações gráficas dos resultados obtidos para a implementação paralela (*array\_MPI*) e sequencial (*array\_Matlab*) na alínea a).

Implementação	Nº de iterações	T. Cálculo (s)	T. Escrita (s)	MSE
Paralela	11804	0.6181	0.0023	$7.8138 \times 10^{-3}$
Sequencial	11759	17.1762	N/A	N/A

Tabela 1: Resultados obtidos para a implementação paralela e sequencial na alínea a).

### Exercício b)

Na alínea b) foi pedido para adaptar novamente o programa para, desta vez, utilizar condições fronteira periódicas em ambas as direções,  $x$  e  $y$ . Primeiramente, e de modo a poderem ser implementadas condições fronteira periódicas, a variável *periodic* foi alterada. Foi também necessário alterar o domínio de cálculo de maneira a que se incluía todos os pontos do domínio global, que não são pontos fantasma. Como as condições são periódicas, o passo  $h$  foi alterado de  $h = 2.0 \times \frac{L}{n_x-1}$  para  $h = 2.0 \times \frac{L}{n_x}$  porque existe uma interação adicional.

Como agora estamos a considerar todos os pontos do domínio global, foi necessário criar um novo *datatype* que define uma nova *view* para a nova escrita do ficheiro.

Por fim, a primeira linha do domínio é enviada para a última linha fantasma sendo a última linha enviada para a primeira, o que toma conta das comunicações verticais. Quanto às horizontais, a primeira coluna do domínio é enviada para a linha fantasma e a última é enviada para a primeira. As alterações feitas ao código estão presentes em Código 2.

```
int periodic[2] = {1,1};

(...)

// Alterado para incluir as linhas de fronteira
for (int i = 0; i < nprocs_col; i++)
{
    listfirstrow[2*i] = i * (nrows);
    listmyrows[2*i] = nrows+1;
    listfirstrow[2*i+1] = i * (nrows);
    listmyrows[2*i+1] = nrows+1;
}
// Altera o numero de linhas do penultimo e do ultimo
listmyrows[nprocs-2] = ny - (nprocs_col - 1) * nrows;
listmyrows[nprocs-1] = ny - (nprocs_col - 1) * nrows;

// Colunas
// Alterado para incluir as colunas de fronteira
int ncols_temp = (int)((nx-2)/2);
for (int i = 0; i < nprocs_col; i++)
{
    listfirstcol[2*i] = 0;
    listmycols[2*i] = ncols_temp + 1;
    listfirstcol[2*i+1] = ncols_temp + 1;
    listmycols[2*i+1] = nx - 1 - ncols_temp;
}

(...)
int gsizes[2] = {ny, nx};
int lsizes[2] = {myrows, mycols};
int start_ind[2] = {firstrow, firstcol};
```

### Código 2

Os resultados obtidos estão presentes na Figura 2 e na Tabela 2. O número de iterações reduziu consideravelmente tal como o tempo de cálculo. O tempo de escrita dos resultados

manteve-se pois o número de processos não foi alterado. O erro (MSE) é menor mas pode-se ainda considerar da ordem de  $h^2 = (2.0 \times \frac{L}{n_x})^2 = 4.0000 \times 10^{-4}$ . Pode-se também entender que estes resultados já são mais realistas dado que não estão limitados às condições fronteiras.

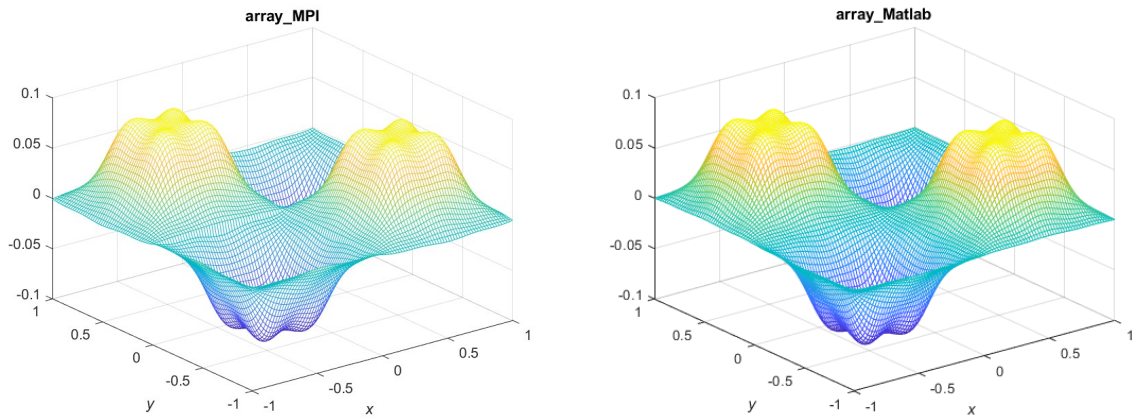


Figura 2: Representações gráficas dos resultados obtidos para a implementação paralela (*array\_MPI*) e sequencial (*array\_Matlab*) na alínea b).

Implementação	Nº de iterações	T. Cálculo (s)	T. Escrita (s)	MSE
Paralela	3877	0.2242	0.0023	$1.9857 \times 10^{-5}$
Sequencial	3840	7.1621	N/A	N/A

Tabela 2: Resultados obtidos para a implementação paralela e sequencial na alínea b).

### Exercício c)

Na alínea anterior, a aproximação por diferenças finitas utilizada para as segunda derivadas corresponde a um estêncil de 5 pontos que introduz um erro local de ordem de  $h^2$ . Na presente alínea foi pedido para introduzir um estêncil de 9 pontos de forma a diminuir o erro mencionado para  $h^4$ .

Como nesta alínea existem 4 novos pontos que vão ser utilizados para o cálculo, é necessário alocar espaço para mais 4 linhas fantasma. Como estas não fazem parte do domínio utilizado para o cálculo, é necessário adequar os índices dos parâmetros passados à função *myf* e também na implementação do método de Jacobi. De forma semelhante à alínea anterior, foi necessário alterar a escrita do ficheiro tendo em conta a introdução de mais pontos.

Nesta alínea vão ser criadas mais comunicações em comparação com a anterior. Primeiramente, na direção vertical é enviada a informação da 1ª linha para a penúltima linha fantasma e a última linha do domínio para a primeira linha fantasma. Para os pontos restantes, é enviada a informação da 2ª linha para a última linha fantasma e a penúltima linha do domínio para a segunda linha fantasma. O mesmo raciocínio é utilizado para as colunas na direção horizontal.

De forma a incluir todos os pontos do domínio global, foi feito um ajuste nos índices utilizados para o valor de *Vold*.

```
// ALterado para usar mais 2 colunas e linhas fantasma, necessário para o maior estêncil
double (*Vold)[mycols+4], (*Vnew)[mycols+4], (*myf)[mycols+4];
Vold = calloc(myrows + 4, sizeof(*Vold));
Vnew = calloc(myrows + 4, sizeof(*Vnew));
myf = calloc(myrows + 4, sizeof(*myf));

(...)
```

```

// dominio principal agora nao inclui as 2 primeiras e 2 ultimas linhas e colunas
for (int j = 2; j < mycols + 2 ; j++)
{
    for (int i = 2; i < myrows + 2; i++)
    {
        myf[i][j] = f(-L + (firstcol + j - 2) * h, -L + (firstrow + i - 2) * h);
    }
}

(...)

// Alterado para + 4
MPI_Datatype column;
MPI_Type_vector(myrows + 4, 1, mycols + 4, MPI_DOUBLE, &column);
MPI_Type_commit(&column);

(...)

// Dominio principal agora nao inclui as 2 primeiras e 2 ultimas linhas e colunas
// Alterado para usar o novo estencil e nova equação iterativa
for (int j = 2; j < mycols + 2 ; j++)
{
    for (int i = 2; i < myrows + 2; i++)
    {
        Vnew[i][j] = (W/60)*(16*Vold[i-1][j] + 16*Vold[i+1][j] + 16*Vold[i][j-1] + 16*Vold[i][j+1]
        - Vold[i-2][j] - Vold[i+2][j] - Vold[i][j-2] - Vold[i][j+2] - 12*h*h*myf[i][j]) + (1-W)*Vold[i][j];
        sums[0] += (Vnew[i][j] - Vold[i][j]) * (Vnew[i][j] - Vold[i][j]);
        sums[1] += Vnew[i][j] * Vnew[i][j];
    }
}

(...)

// Alterado para + 4
int memsizes[2] = {myrows+4, mycols+4};

(...)

// comunicações sentido ascendente
// Alterado para +4
MPI_Sendrecv(Vnew[myrows], mycols+4, MPI_DOUBLE, nbrtop, 0,
    Vnew[0] , mycols+4, MPI_DOUBLE, nbrbottom, 0, comm2D, MPI_STATUS_IGNORE);

// comunicações sentido descendente
// Alterado para usar 3a e antepenultima coluna (e +4)
MPI_Sendrecv(Vnew[2], mycols+4, MPI_DOUBLE, nbrbottom, 1,
    Vnew[myrows+2] , mycols+4, MPI_DOUBLE, nbrtop, 1, comm2D, MPI_STATUS_IGNORE);

// comunicações sentido para direita
MPI_Sendrecv(&(Vnew[0][mycols]), 1, column, nbrright, 2,
    &(Vnew[0][0]), 1, column, nbrleft, 2, comm2D, MPI_STATUS_IGNORE);

// comunicações sentido para esquerda
// Alterado para usar 3a e antepenultima coluna
MPI_Sendrecv(&(Vnew[0][2]), 1, column, nbrleft, 3,
    &(Vnew[0][mycols+2]), 1, column, nbrright, 3, comm2D, MPI_STATUS_IGNORE);

// Outras comunicações
// Comunicar 2a e penultima linhas

```

```

MPI_Sendrecv(Vnew[myrows+1], mycols+4, MPI_DOUBLE, nbrtop, 6,
             Vnew[1], mycols+4, MPI_DOUBLE, nbrbottom, 6, comm2D, MPI_STATUS_IGNORE);

// Comunicar 4a linha
MPI_Sendrecv(Vnew[3], mycols+4, MPI_DOUBLE, nbrbottom, 5,
             Vnew[myrows+3], mycols+4, MPI_DOUBLE, nbrtop, 5, comm2D, MPI_STATUS_IGNORE);

// Comunicar 4a coluna
MPI_Sendrecv(&(Vnew[0][3]), 1, column, nbrleft, 7,
             &(Vnew[0][mycols+3]), 1, column, nbrright, 7, comm2D, MPI_STATUS_IGNORE);

// Comunicar 2a e penultima colunas
MPI_Sendrecv(&(Vnew[0][mycols+1]), 1, column, nbrright, 8,
             &(Vnew[0][1]), 1, column, nbrleft, 8, comm2D, MPI_STATUS_IGNORE);

// Alterado para +4
for (int i = 0; i < myrows + 4; i++)
{
    for (int j = 0; j < mycols + 4; j++)
    {
        Vold[i][j] = Vnew[i][j];
    }
}

```

Código 3

Os resultados obtidos estão presentes na Figura 3 e na Tabela 3. O número de iterações aumentou possivelmente devido à maior precisão dado o estêncil maior, consequentemente o tempo de cálculo também aumentou. O tempo de escrita dos resultados manteve-se pois o número de processos não foi alterado. O erro (MSE) é maior, não correspondendo ao esperado da ordem de  $h^4 = (2.0 \times \frac{L}{n_x})^4 = 1.6000 \times 10^{-7}$ .

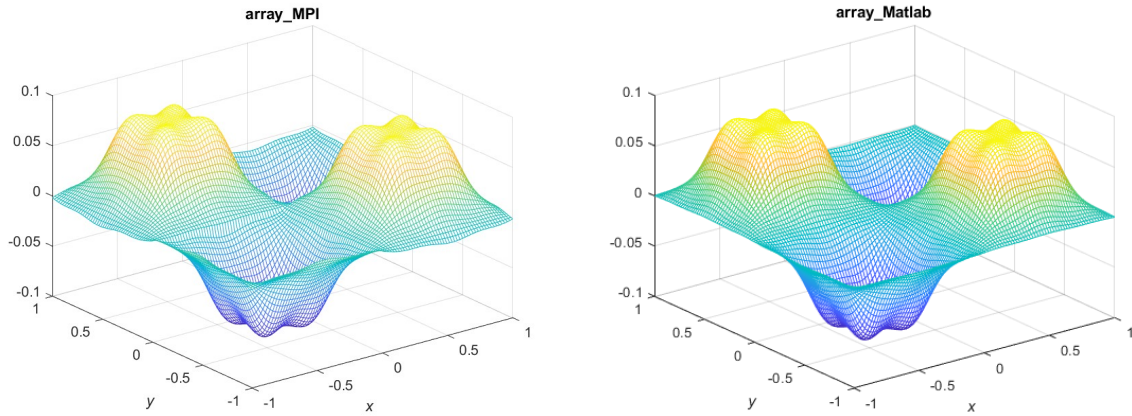


Figura 3: Representações gráficas dos resultados obtidos para a implementação paralela (*array\_MPI*) e sequencial (*array\_Matlab*) na alínea c).

Implementação	Nº de iterações	T. Cálculo (s)	T. Escrita (s)	MSE
Paralela	4972	0.3987	0.0023	$7.2776 \times 10^{-5}$
Sequencial	4925	12.2727	N/A	N/A

Tabela 3: Resultados obtidos para a implementação paralela e sequencial na alínea c).

## Exercício d)

Através da implementação da alínea b), é pedido que se utilize o método de Gauss-Seidel em alternativa ao método de Jacobi pois o método de Gauss-Seidel converge mais rapidamente para a solução. Para implementação vai ser utilizado um sistema do tipo par-ímpar visto que para calcular o ponto da iteração atual são utilizados os pontos da mesma iteração.

As condições fronteira mantêm-se periódicas e são consideradas de novo apenas mais duas linhas e colunas fantasma, de forma semelhante à alínea b). Primeiramente, calcula-se, no domínio local, e envia-se os pontos pares procedendo-se ao cálculo dos pontos ímpares. No fim, a informação é enviada aos vizinhos de maneira semelhante ao envio da alínea b).

```
// Calculos pares (i+j é par)
for (int i = 1; i < myrows + 1; i++)
{
    for (int j = 1; j < mycols + 1 ; j++)
    {
        if (((firstcol + j - 1) + (firstrow + i - 1)) % 2 == 0) // verifica que é par
        {
            Vnew[i][j] = (Vnew[i+1][j] + Vnew[i-1][j] + Vnew[i][j+1] + Vnew[i][j-1] - h*h*myf[i][j]) / 4.0;
            sums[0] += (Vnew[i][j] - Vold[i][j]) * (Vnew[i][j] - Vold[i][j]);
            sums[1] += Vnew[i][j] * Vnew[i][j];
        }
    }
}

// Comunicar aos vizinhos (pares para ímpares)
MPI_Sendrecv(&Vnew[1][1], mycols, MPI_DOUBLE, nbrbottom, 4,
             &Vnew[myrows+1][1], mycols, MPI_DOUBLE, nbrtop, 4, comm2D, MPI_STATUS_IGNORE);

MPI_Sendrecv(&Vnew[myrows][1], mycols, MPI_DOUBLE, nbrtop, 5,
             &Vnew[0][1], mycols, MPI_DOUBLE, nbrbottom, 5, comm2D, MPI_STATUS_IGNORE);

MPI_Sendrecv(&Vnew[1][1], 1, column, nbrleft, 6,
             &Vnew[1][mycols+1], 1, column, nbrright, 6, comm2D, MPI_STATUS_IGNORE);

MPI_Sendrecv(&Vnew[1][mycols], 1, column, nbrright, 7,
             &Vnew[1][0], 1, column, nbrleft, 7, comm2D, MPI_STATUS_IGNORE);

// Calcular ímpares (i+j é ímpar)
for (int i = 1; i < myrows + 1; i++)
{
    for (int j = 1; j < mycols + 1 ; j++)
    {
        if (((firstcol + j - 1) + (firstrow + i - 1)) % 2 == 1) // verifica que é ímpar
        {
            Vnew[i][j] = (Vnew[i-1][j] + Vnew[i][j-1] + Vnew[i][j+1] + Vnew[i+1][j] - h*h*myf[i][j]) / 4.0;
            sums[0] += (Vnew[i][j] - Vold[i][j]) * (Vnew[i][j] - Vold[i][j]);
            sums[1] += Vnew[i][j] * Vnew[i][j];
        }
    }
}

// Comunicar aos vizinhos (ímpares para pares)
MPI_Sendrecv(&Vnew[1][1], mycols, MPI_DOUBLE, nbrbottom, 8,
             &Vnew[myrows+1][1], mycols, MPI_DOUBLE, nbrtop, 8, comm2D, MPI_STATUS_IGNORE);

MPI_Sendrecv(&Vnew[myrows][1], mycols, MPI_DOUBLE, nbrtop, 9,
             &Vnew[0][1], mycols, MPI_DOUBLE, nbrbottom, 9, comm2D, MPI_STATUS_IGNORE);

MPI_Sendrecv(&Vnew[1][1], 1, column, nbrleft, 10,
```



```

&Vnew[1][mycols+1], 1, column, nbrright, 10, comm2D, MPI_STATUS_IGNORE);

MPI_Sendrecv(&Vnew[1][mycols], 1, column, nbrright, 11,
&Vnew[1][0], 1, column, nbrleft, 11, comm2D, MPI_STATUS_IGNORE);

```

#### Código 4

Os resultados obtidos estão presentes na Figura 4 e na Tabela 4. O número de iterações reduziu significativamente devido ao uso dos valores mais recentes em cada iteração, consequentemente o tempo de calculo também diminuiu. O tempo de escrita dos resultados manteve-se pois o número de processos não foi alterado. O erro (MSE) é menor, e corresponde aproximadamente ao esperado da ordem de  $h^2 = (2.0 \times \frac{L}{n_x})^2 = 4.0000 \times 10^{-4}$ .

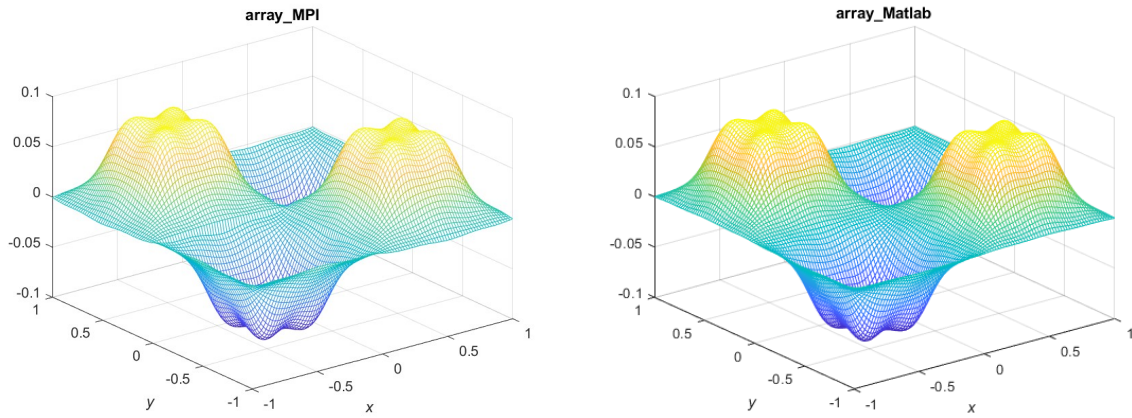


Figura 4: Representações gráficas dos resultados obtidos para a implementação paralela (*array\_MPI*) e sequencial (*array\_Matlab*) na alínea d).

Implementação	Nº de iterações	T. Cálculo (s)	T. Escrita (s)	MSE
Paralela	2118	0.1811	0.0023	$2.2775 \times 10^{-5}$
Sequencial	2101	4.9398	N/A	N/A

Tabela 4: Resultados obtidos para a implementação paralela e sequencial na alínea d).

### 3 Conclusão

A clara diferença entre a primeira alínea e as restantes demonstra o efeito do uso de condições fronteira, que neste caso, reduzem muito os resultados do método e consequentemente o efeito representado na figura 1. A ordem de grandeza dos erros (MSE) foi de acordo com o esperado em todas as alíneas exceto a c), algo que pode ser explicado pelo erro base do método e do erro que advém do hardware usado e a sua representação dos valores. As representações dos resultados das figuras 2, 3, 4, são bastante semelhantes, as maiores diferenças em relação aos resultados da implementação sequencial em Matlab são na zona da divisão de processos (linhas  $x = 0$  e  $y = 0$ ).